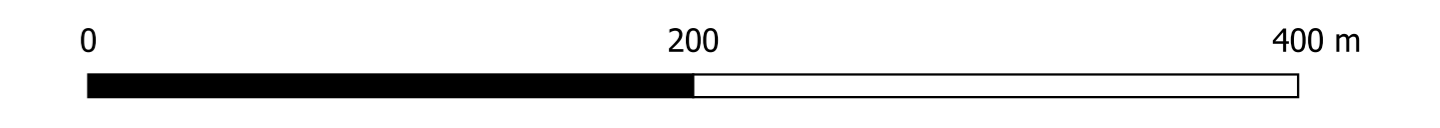


TAVOLA 5 CARTA LITOTECNICA CON UBICAZIONE DELLE INDAGINI IN SITO



- Layout**
- Impianto Fotovoltaico
 - Recinzione
 - Cancelli
 - Fascia arborea di mitigazione
 - Cabinati
 - Cabine
 - Strutture Fotovoltaiche
 - Strade interne impianto FV
 - Opere di Connessione
 - Cavidotto AT
 - Cavidotto MT
 - Area Storage altro produttore
 - Area Storage Impianto FV
 - Edificio Stazione
 - Trasformatore
 - Futura Stazione Terna
 - Stazione Utente
 - Stazione Utente Altri Produttori
 - Stallo Condiviso
 - Strade Accesso Area Stallo, Storage, SU

- Indagini in sito**
- Prove Penetrometriche Dinamiche super pesanti -DPSH
 - Indagini sismiche a Rifrazione (SRT)
 - Indagini sismiche MASW (con indicazione della Vs,eq risultante)

- Unità Litotecniche**
- U.G. 2 - Unità Sabbiosa-Calcareitica: terreni a comportamento geotecnico da discreto a buono, prevalentemente incoerenti, a consistenza generalmente medio-bassa nei livelli superficiali, che tende ad aumentare con la profondità
 - U.G. 3 - Unità Calcareitica: terreni a comportamento geotecnico da discreto a buono, con comportamento assillabile ad un ammasso roccioso dalle discrete qualità
 - U.G. 4 - Unità Calcaree: terreni a comportamento geotecnico in genere buono, con comportamento assillabile ad un ammasso roccioso dalle buone qualità. La qualità dell'ammasso e le caratteristiche geotecniche tendono ad aumentare al diminuire del grado di alterazione e fratturazione dell'ammasso. Per tale motivo l'unità geotecnica viene distinta in due sottounità: quella più superficiale, costituita dai calcari alterati e fratturati e quella più profonda costituita dai calcari da poco fratturati a compatti

Unità Geotecnica 2

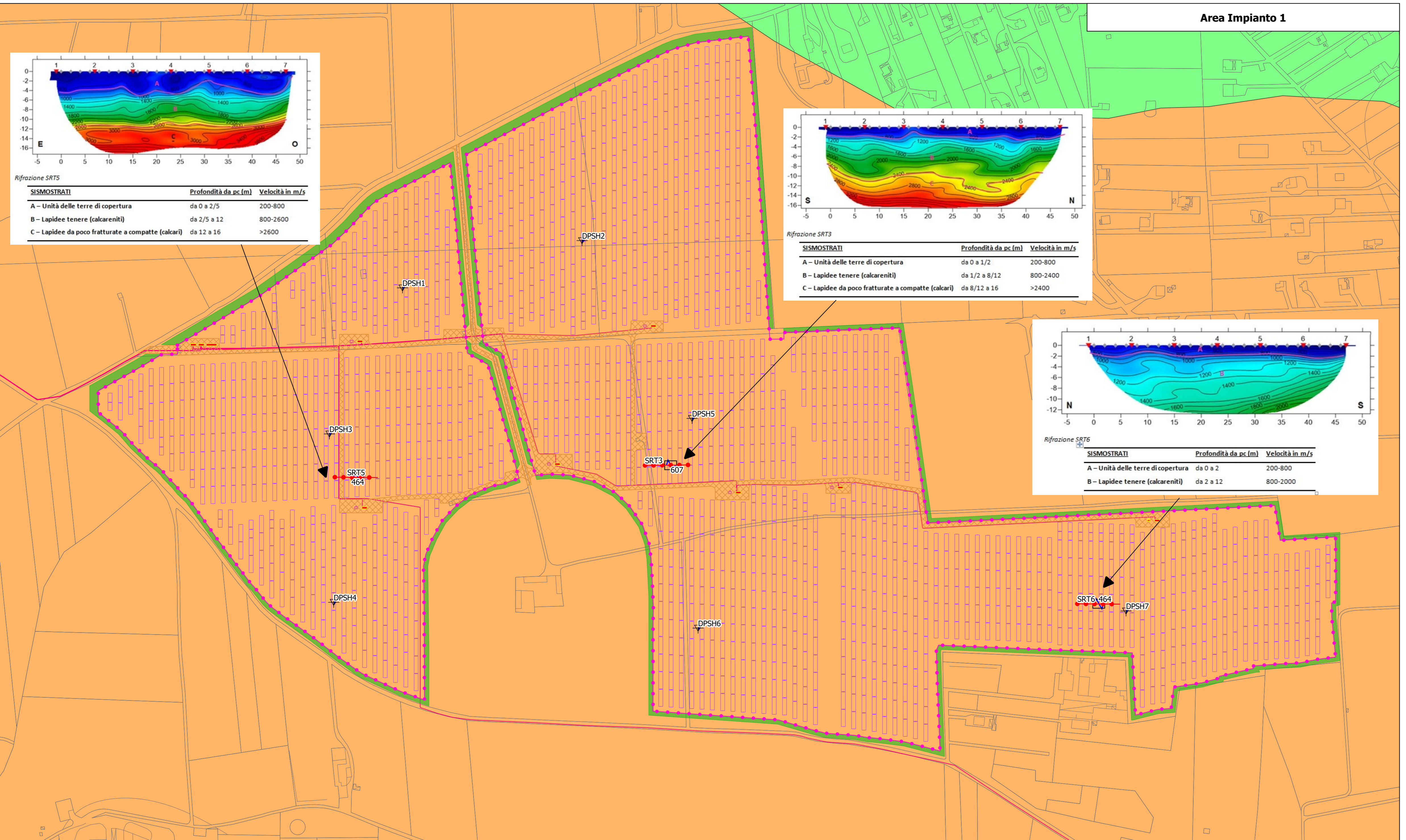
| Parametri geotecnici caratteristici: | MIN | MAX | BEST FIT |
|---|------|------|----------|
| γ (kN/m ³) Peso per unità di volume naturale | 17,5 | 21,0 | 20,0 |
| γ_{sec} (kN/m ³) Peso per unità di volume secco | 16,8 | 18,0 | 17,5 |
| γ_{sat} (kN/m ³) Peso per unità di volume saturo | 19,5 | 21,8 | 20,5 |
| γ_s (kN/m ³) Peso specifico | — | — | 24,0 |
| ϕ (°) Angolo di attrito di picco | 28,0 | 32,0 | 30,0 |
| ϕ_{int} (°) Angolo di attrito a volume costante | 28,0 | 32,0 | 29,0 |
| c' (kPa) Coesione efficace | 0,0 | 9,0 | 4,0 |
| E (Mpa) Modulo Elastico Statico | — | — | 80 |
| ν Coefficiente di Poisson | — | — | 0,35 |
| R.Q.D. (%) | — | — | 50 |

Unità Geotecnica 3

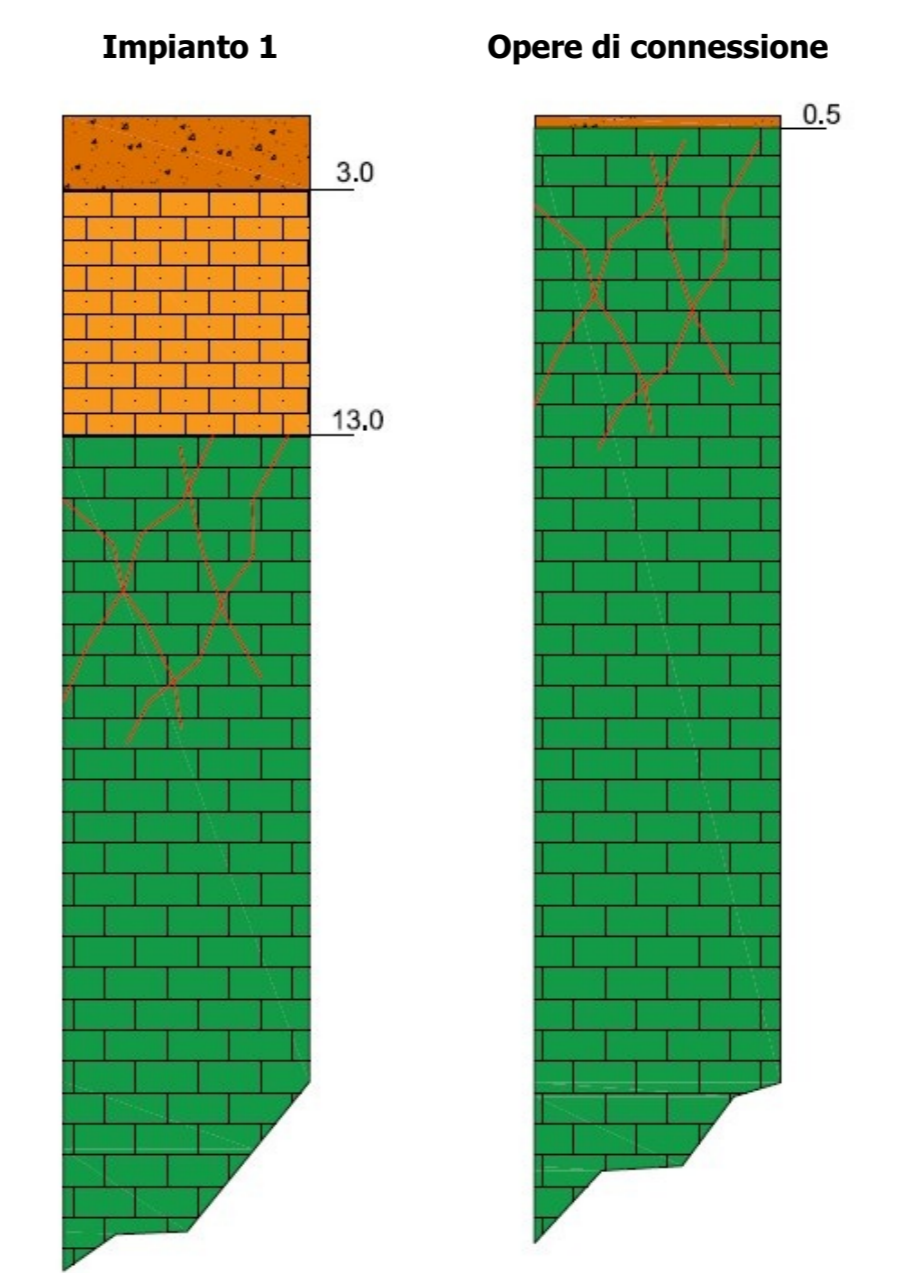
| Parametri geotecnici caratteristici: | MIN | MAX | BEST FIT |
|---|------|------|----------|
| γ (kN/m ³) Peso per unità di volume naturale | 19,5 | 22,0 | 21,0 |
| γ_{sec} (kN/m ³) Peso per unità di volume secco | 18,0 | 19,5 | 18,5 |
| γ_{sat} (kN/m ³) Peso per unità di volume saturo | 20,0 | 22,0 | 22,0 |
| γ_s (kN/m ³) Peso specifico | — | — | 23,0 |
| ϕ (°) Angolo di attrito | 30,0 | 34,0 | 32,0 |
| c' (kPa) Coesione efficace | 0,0 | 10,0 | 5,0 |
| E (Mpa) Modulo Elastico Statico | — | — | 80 |
| ν Coefficiente di Poisson | — | — | 0,40 |
| R.Q.D. (%) | 30 | 60 | 50 |

Unità Geotecnica 4

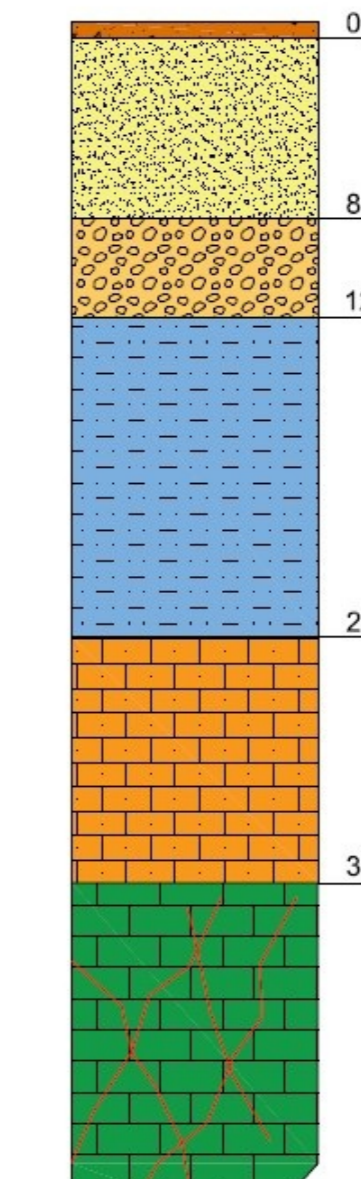
| Parametri geotecnici caratteristici [U.G.4a] - calcari alterati e fratturati: | MIN | MAX | BEST FIT | Parametri geotecnici caratteristici [U.G.4b] - calcari da poco fratturati a compatti: | MIN | MAX | BEST FIT |
|---|-------|-------|----------|---|-------|-------|----------|
| γ (kN/m ³) Peso per unità di volume naturale | 22,0 | 23,0 | 22,5 | γ (kN/m ³) Peso per unità di volume naturale | 21,5 | 24,0 | 22,5 |
| γ_{sec} (kN/m ³) Peso per unità di volume secco | 20,0 | 21,0 | 20,5 | γ_{sec} (kN/m ³) Peso per unità di volume secco | 20,0 | 21,5 | 20,5 |
| γ_{sat} (kN/m ³) Peso per unità di volume saturo | 23,0 | 24,0 | 23,0 | γ_{sat} (kN/m ³) Peso per unità di volume saturo | 23,0 | 24,5 | 24,0 |
| γ_s (kN/m ³) Peso specifico | — | — | 23,0 | γ_s (kN/m ³) Peso specifico | — | — | 24,0 |
| ϕ (°) Angolo di attrito | 32,0 | 36,0 | 33,0 | ϕ (°) Angolo di attrito | 7,0 | 40,0 | 38,0 |
| c' (kPa) Coesione efficace | 100,0 | 150,0 | 100,0 | c' (kPa) Coesione efficace | 150,0 | 180,0 | 160,0 |
| E (Mpa) Modulo Elastico Statico | — | — | 100 | E (Mpa) Modulo Elastico Statico | — | — | 300 |
| ν Coefficiente di Poisson | — | — | 0,35 | ν Coefficiente di Poisson | — | — | 0,32 |
| R.Q.D. (%) | 40 | 60 | 50 | R.Q.D. (%) | 80 | 100 | 90 |



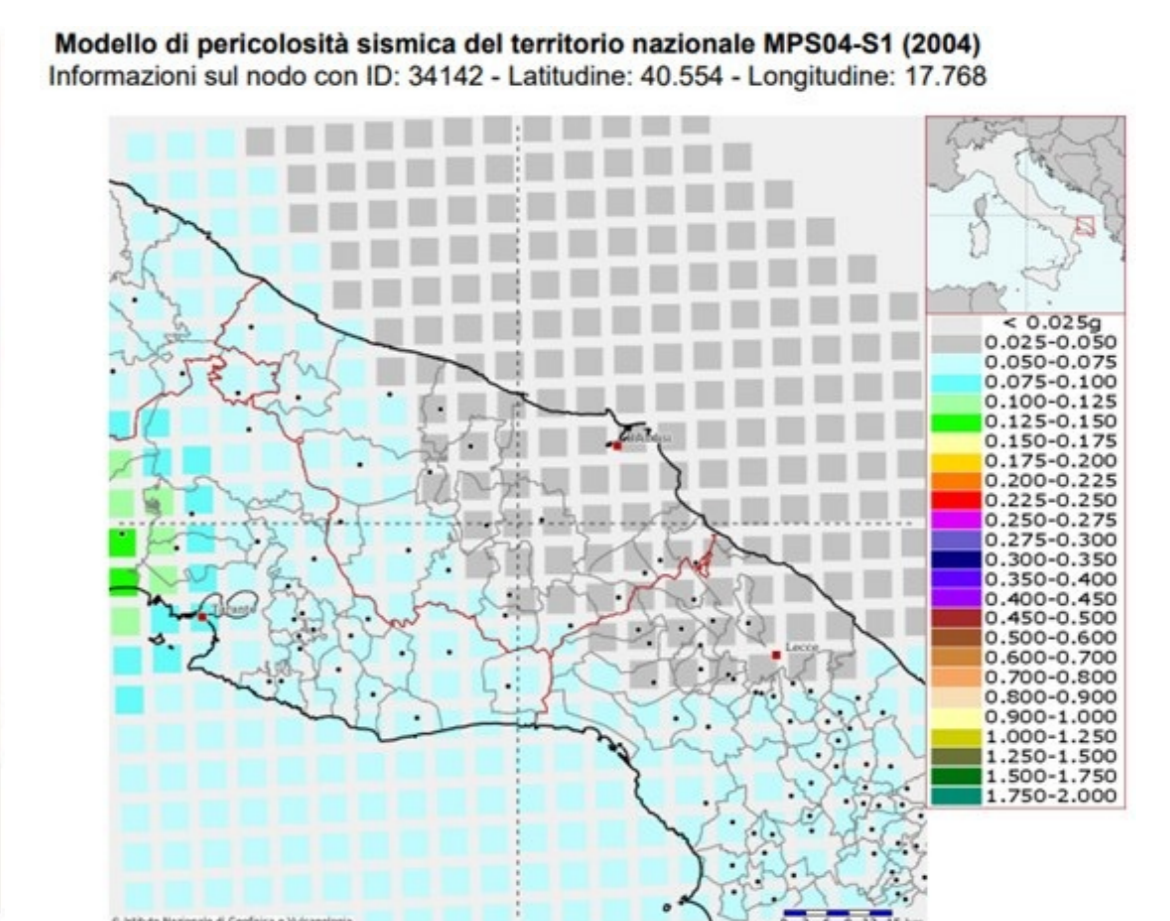
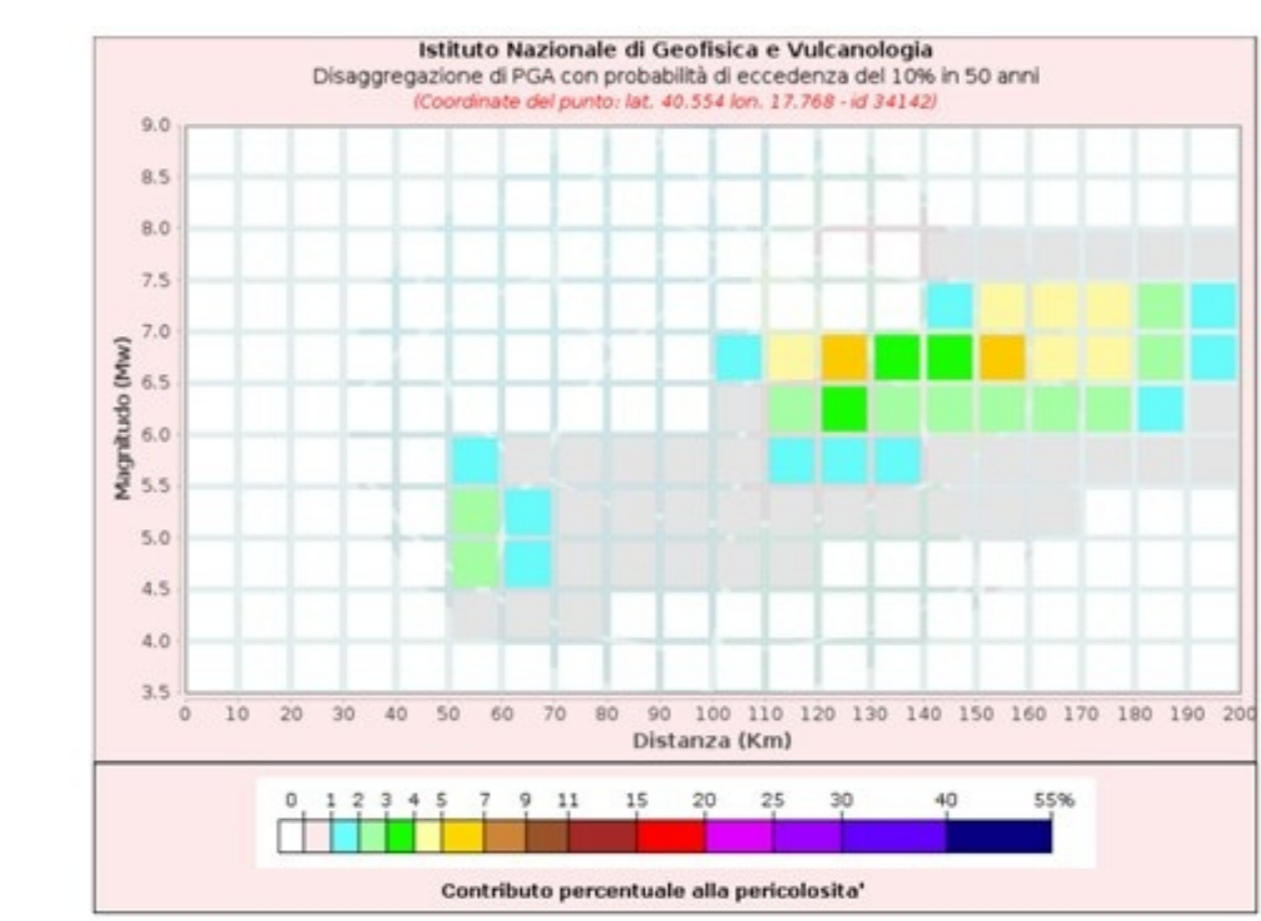
Modelli caratteristici del sottosuolo



Impianto 2



- Terreno vegetale limo-sabbioso
- Complesso dei Depositi Marini Terrazzati: sabbie, sabbie limose, ghiaie e arenarie tenere
- Complesso delle Argille Subappennine
- Complesso della Calcarei di Gravina
- Complesso dei Calcari di Altamura



Coefficienti sismici

| Tipologia | Stabilità dei pendii e fondazioni | Stabilità dei pendii e fondazioni | Stabilità dei pendii e fondazioni | Stabilità dei pendii e fondazioni | Coefficienti | SLO | SUD | SLV | SLC |
|-------------------------------|-----------------------------------|-----------------------------------|-----------------------------------|-----------------------------------|------------------------------------|-------|-------|-------|-------|
| SIS Amplificazione categoria | 1,20 | 1,20 | 1,20 | 1,20 | kv | 0,004 | 0,004 | 0,010 | 0,012 |
| CC Coeff. funz. categoria | 1,59 | 1,56 | 1,31 | 1,28 | kv | 0,002 | 0,002 | 0,005 | 0,006 |
| ST Amplificazione topografica | 1,00 | 1,00 | 1,00 | 1,00 | Ames (m/s ²) categoria | 0,164 | 0,200 | 0,565 | 0,612 |
| | | | | | Beta | 0,200 | 0,200 | 0,200 | 0,200 |